

## 浅間山の火山活動解説資料（平成 28 年 10 月）

気象庁地震火山部  
火山監視・警報センター

山頂火口直下のごく浅い所を震源とする体を感じない火山性地震は多い状態となっており、火山活動はやや活発な状態で経過しています。

今後も火口周辺に影響を及ぼす小規模な噴火が発生する可能性がありますので、山頂火口から概ね 2 km の範囲では、噴火に伴う弾道を描いて飛散する大きな噴石に警戒してください。登山者等は地元自治体等の指示に従って危険な地域には立ち入らないでください。また、風下側では降灰及び風の影響を受ける小さな噴石に注意してください。

平成 27 年 6 月 11 日に火口周辺警報を発表し、噴火警戒レベルを 1（活火山であることに留意）から 2（火口周辺規制）に引き上げました。その後、警報事項に変更はありません。

### ○ 活動概況

#### ・噴煙など表面現象の状況（図 1、図 2-②④、図 3-②、表 1）

山頂火口からは、白色の噴煙が火口縁上概ね 400m 以下で経過しています。  
火映<sup>1)</sup>は観測されませんでした。

#### ・火山ガスの状況（図 2-③、図 3-③、表 1）

6 日及び 21 日に実施した現地調査では、火山ガス（二酸化硫黄）の放出量<sup>2)</sup>は 1 日あたり 100～200 トン（9 月 15 日：400 トン）とやや少ない状態でした。

#### ・地震や微動の発生状況（図 2-⑤～⑧、図 3-④～⑧、図 4、図 8、表 1）

山頂火口直下のごく浅い所を震源とする体を感じない火山性地震は多い状態で経過しました。発生した地震の多くは BL 型地震（低周波地震）でした。  
火山性微動の日別継続時間は、2016 年 1 月以降やや増加しています。

#### ・地殻変動の状況（図 2-⑨～⑩、図 3-⑨～⑩、図 5～7、図 9）

塩野山に設置している傾斜計<sup>3)</sup>による地殻変動観測では、2015 年 6 月上旬頃から山頂西側のやや深いところが膨張源と考えられる緩やかな変化が 12 月頃にかけてみられました。その後は、塩野山の観測点でわずかな北上がりの変化がみられています。  
光波測距観測<sup>4)</sup>及び GNSS<sup>5)</sup>の観測では、2015 年 10 月以降は特段の変化はみられていません。

この火山活動解説資料は気象庁ホームページ（<http://www.data.jma.go.jp/svd/vois/data/tokyo/volcano.html>）でも閲覧することができます。次回の火山活動解説資料（平成 28 年 11 月分）は平成 28 年 12 月 8 日に発表する予定です。

この資料は気象庁のほか、関東地方整備局、東京大学、国立研究開発法人防災科学技術研究所、国立研究開発法人産業技術総合研究所及び長野県のデータを利用して作成しています。

資料中の地図の作成に当たっては、国土地理院長の承認を得て、同院発行の『数値地図 50m メッシュ（標高）』『数値地図 25000（行政界・海岸線）』を使用しています（承認番号：平 26 情使、第 578 号）。

- 1) 赤熱した溶岩や高温のガス等が、噴煙や雲に映って明るく見える現象です。
- 2) 火口から放出される火山ガスには、マグマに溶けていた水蒸気や二酸化硫黄、硫化水素など様々な成分が含まれており、これらのうち、二酸化硫黄はマグマが浅部へ上昇するとその放出量が増加します。気象庁では、二酸化硫黄の放出量を観測し、火山活動の評価に活用しています。
- 3) 火山活動による山体の傾きを精密に観測する機器。火山体直下へのマグマの貫入等により変化が観測されることがあります。1 マイクロラジアンは 1 km 先が 1 mm 上下するような変化量です。
- 4) レーザなどを用いて山体に設置した反射鏡までの距離を測定する機器を用いて、山体の膨張や収縮による距離の変化を観測します。
- 5) GNSS (Global Navigation Satellite Systems) とは、GPS をはじめとする衛星測位システム全般を示す呼称です。

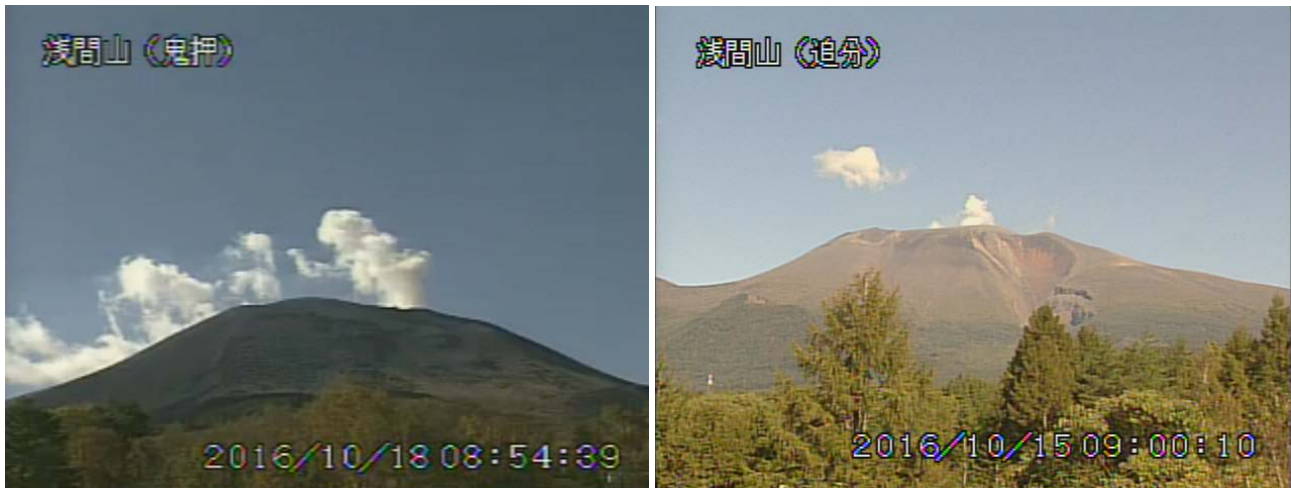


図 1 浅間山 山頂部の噴煙の状況

(左・鬼押遠望カメラ (10 月 18 日)、右・追分遠望カメラ (10 月 15 日) による)

- ・ 白色の噴煙が火口縁上概ね 400m 以下で経過しています。

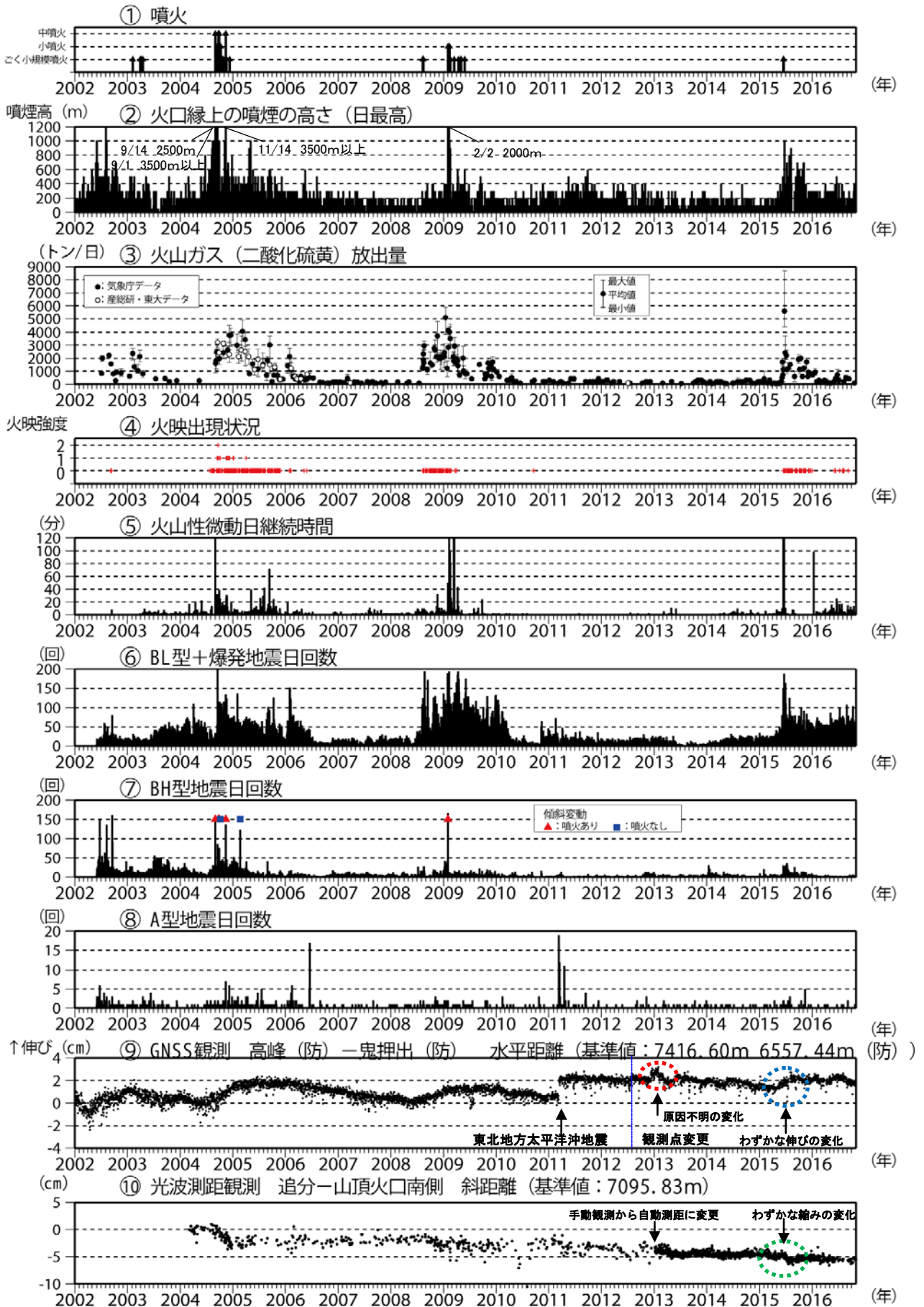


図2 浅間山 火山活動経過図 (2002年1月1日~2016年10月31日)

※図の説明は次ページに掲載しています。

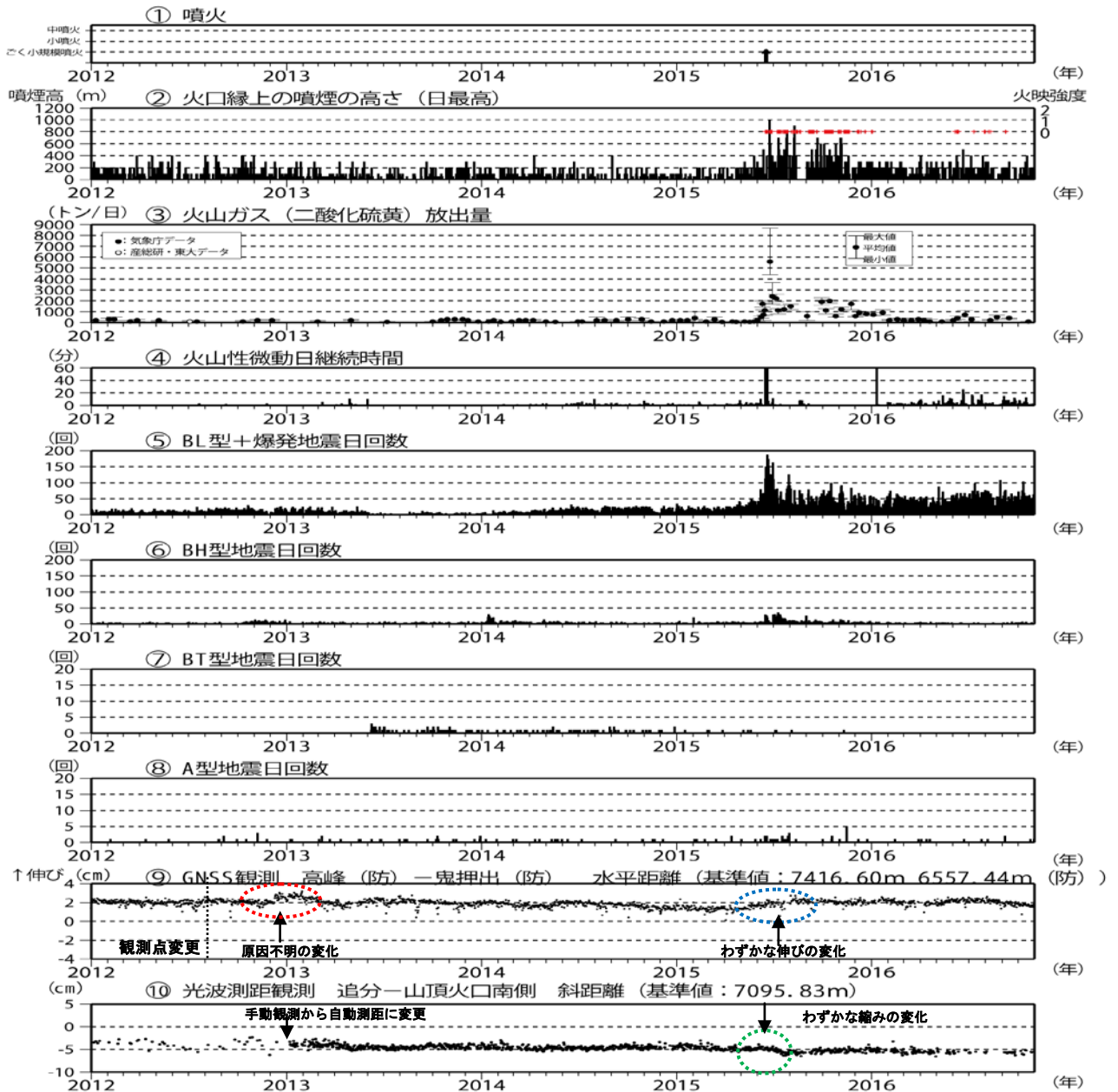


図3 浅間山 最近の火山活動経過図（2012年1月1日～2016年10月31日）

図2及び図3の説明

- 図2②、図3④ 図2②の赤印は火映を示しています。8ページの脚注8)を参照。
- ③ 国立研究開発法人産業技術総合研究所及び東京大学による観測結果が含まれています。2015年6月11日に1日あたり1,700トンと急増し、6月25日には5,600トンとさらに増加しました。その後減少し、今期間は100～200トンとやや少ない状態で経過しています。
- 図2⑤、図3④ 2016年1月頃から、火山性微動の日別継続時間はやや増加しています。
- 図2⑥～⑧、図3⑤～⑧ 地震の種類別（図9参照）に計数を開始した2002年6月1日からのデータを掲載。
- ⑨ 2002年1月1日～2012年7月31日 気象庁の高峰－鬼押観測点間の基線長。  
2012年8月1日以降 防災科学技術研究所の高峰－鬼押出観測点間の基線長。  
2010年10月以降のデータについては、電離層の影響を補正する等、解析方法を改良しています。（防）は国立研究開発法人防災科学技術研究所の観測機器を示します。  
赤丸で示す変化は、原因不明ですが、火山活動に起因するものと考えられます。  
2015年5月頃からみられていたわずかな伸び（青丸で示す変化）が、10月頃から停滞しています。
- ⑩ 2013年1月より、手動観測から自動測距による観測に変更しました。  
2015年6月頃からみられていた山頂と追分の間の縮みの傾向（緑丸で示す変化）が、10月頃から停滞しています。
- ⑨～⑩ グラフの空白部分は欠測を示します。

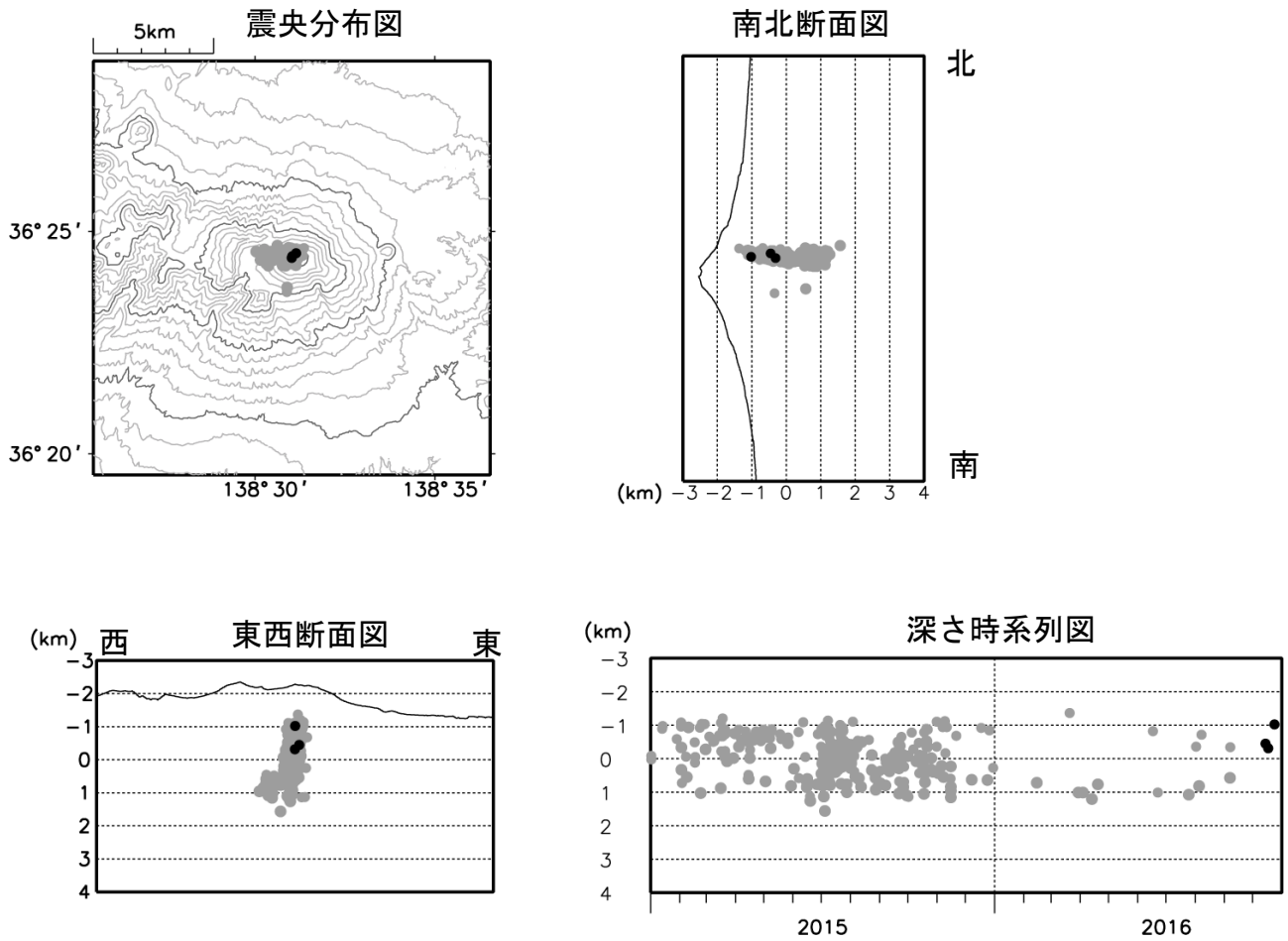


図4 浅間山 震源分布図（2015年1月1日～2016年10月31日）

- : 2015年1月1日～2016年9月30日
- : 2016年10月1日～10月31日

- ・火山性地震の回数は多い状況ですが、P、S相が不明瞭なものも多いため、震源の求まる地震は少ない状況です。
- ・火山性地震の震源は、これまでの震源の分布域内で発生しています。

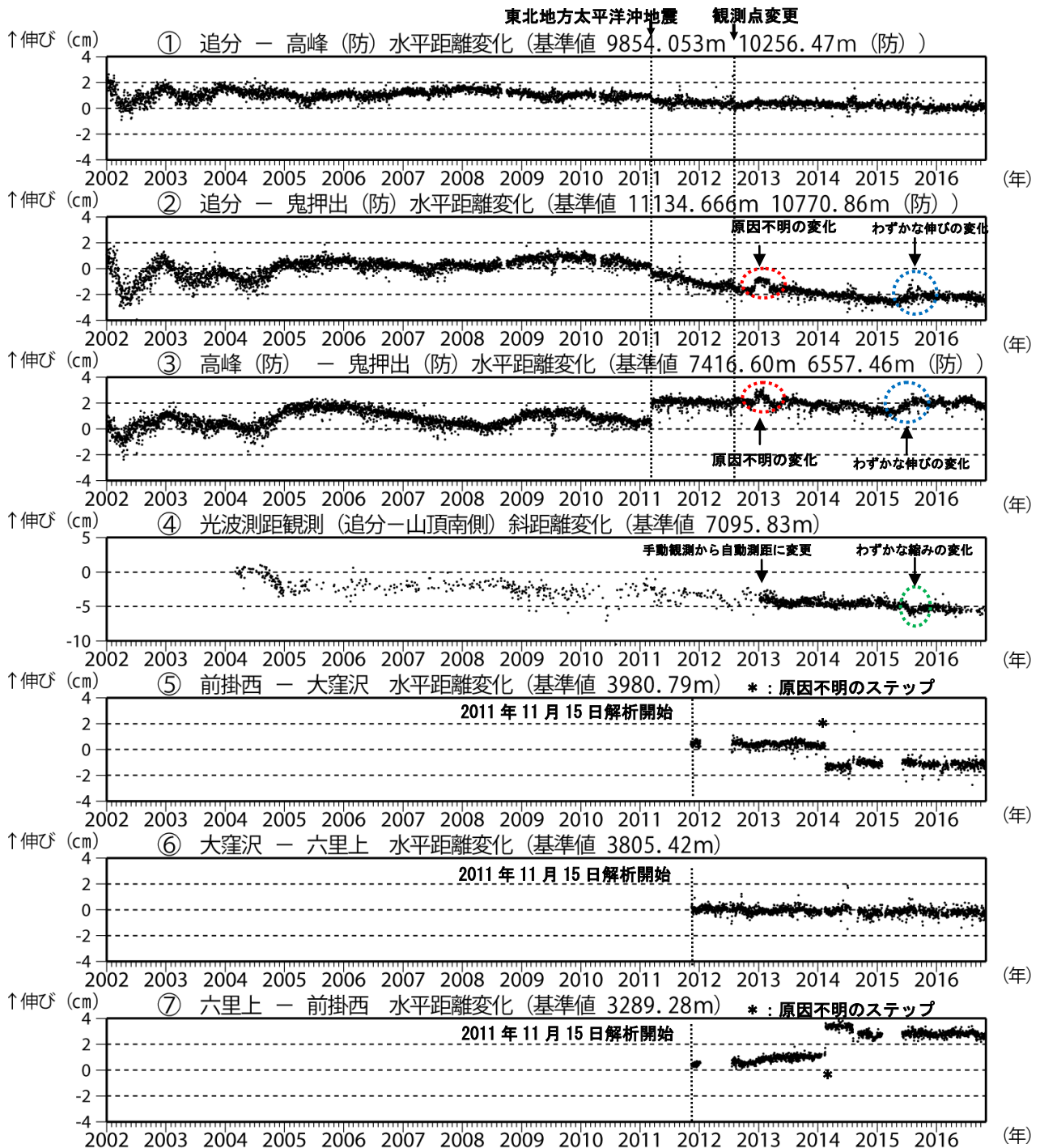


図5 浅間山 GNSS 連続観測及び光波測距観測の結果(2002年1月1日~2016年10月31日)  
 GNSSの2010年10月以降のデータについては、電離層の影響を補正する等、解析方法を改良しました。(防)は国立研究開発法人防災科学技術研究所の観測機器を示しています。  
 ①~⑦は図6の①~⑦にそれぞれ対応しています。  
 ①~⑦の空白部分は欠測を示しています。  
 ②③・赤丸で示す変化は原因不明ですが、火山活動に起因するものではないと考えられます。  
 ・2015年5月頃からみられていたわずかな伸び(青丸で示す変化)の傾向が、10月頃から停滞しています。  
 ③ 2002年1月1日~2012年7月31日 気象庁の高峰-鬼押観測点間の基線長。  
 2012年8月1日~ 防災科学技術研究所の高峰-鬼押出観測点間の基線長。  
 ④ 光波測距観測は、2013年1月より手動観測から自動測距による観測に変更しました。  
 ・2015年6月頃からみられていた山頂と追分の間の縮みの傾向(緑丸で示す変化)が、10月頃から停滞しています。

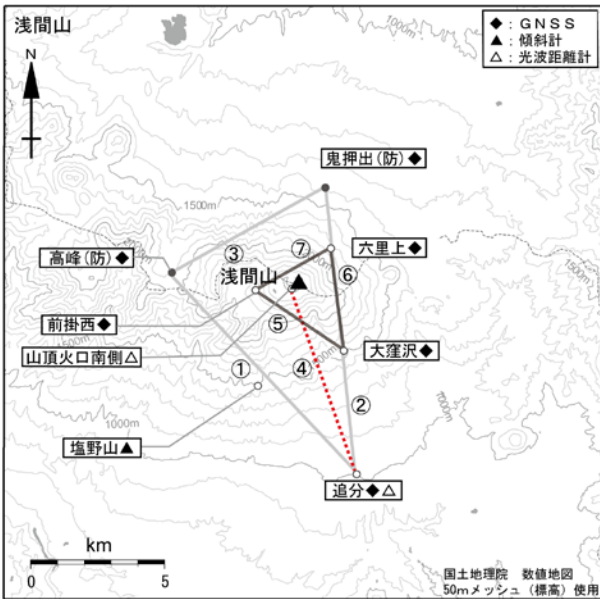


図6 浅間山 地殻変動連続観測点配置図

小さな白丸（○）は気象庁、小さな黒丸（●）は気象庁以外の機関の観測点位置を示しています。

（防）：国立研究開発法人防災科学技術研究所

GNSS 基線③は図2及び図3の⑨に、光波測距測線④は図2及び図3の⑩、図5の④にそれぞれ対応しています。GNSS 基線①～③及び⑤～⑦は図5の①～③及び⑤～⑦にそれぞれ対応しています。

塩野山は、図7に示した観測点です。

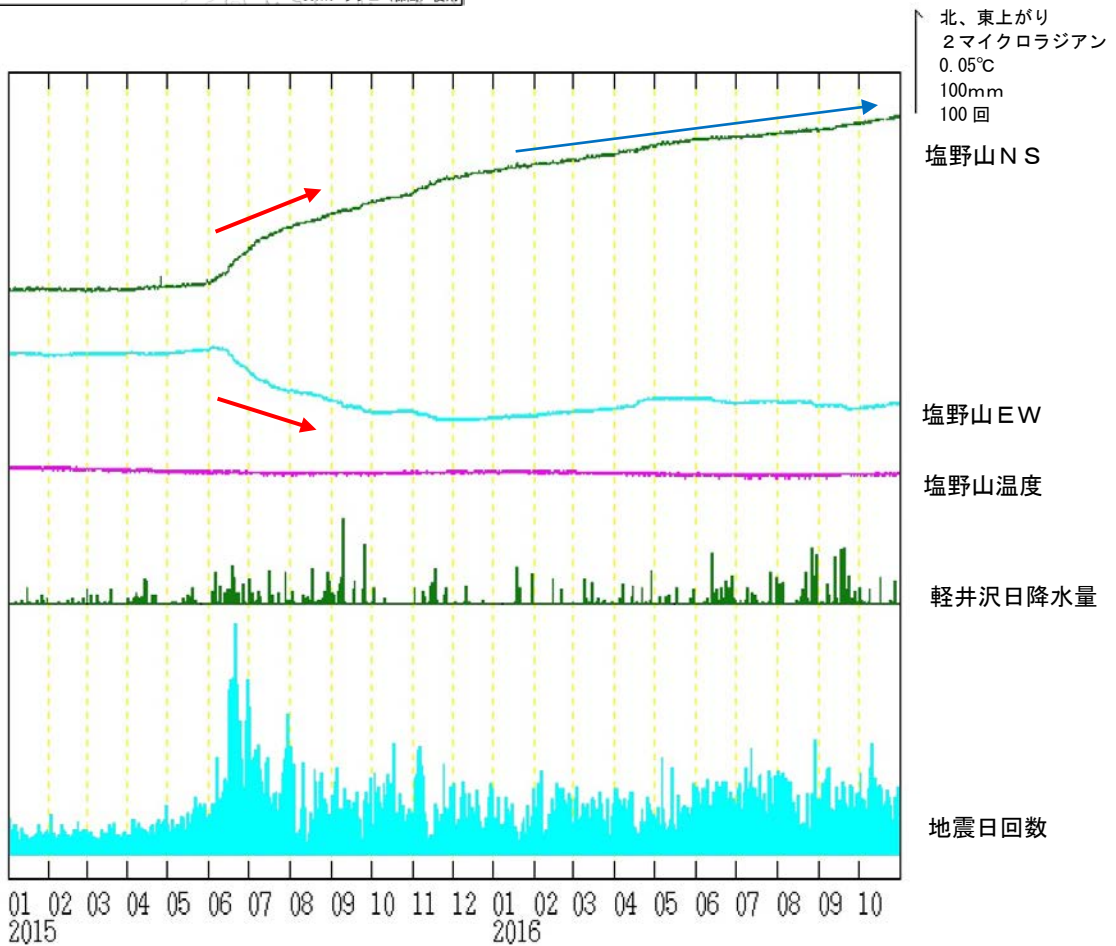


図7 浅間山 塩野山観測点における傾斜データ（2015年1月1日～2016年10月31日）

- ・ 2015年6月上旬頃から山頂西側のやや深いところが膨張源と考えられる緩やかな変化がみられました。この活動に関連し変化が大きかった部分を赤矢印で示しています。
- ・ 2015年12月以降、わずかな北上がりの変化がみられています（青矢印）。
- \* データは時間平均値、2015年6月までの変化が小さくなるように補正しています。

表 1 浅間山 2016 年 10 月の火山活動状況

10月	噴火回数	火山性地震の回数 <sup>6)</sup>						地震合計	微動回数	噴煙の状況 <sup>7)</sup>		火映強度 <sup>8)</sup>	備考
		A型	BH型	BL型	BT型	Ex型	その他			日最高(m)	噴煙量		
1日	0	0	3	57	0	0	0	60	0	×	×	×	
2日	0	0	4	71	0	0	0	75	2	×	×	×	
3日	0	0	3	29	0	0	0	32	1	×	×	-	
4日	0	0	2	47	0	0	0	49	4	-	-	-	
5日	0	0	2	46	0	0	0	48	3	100	1	-	
6日	0	0	3	33	0	0	0	36	0	200	1	-	火山ガス(二酸化硫黄)の放出量 200トン/日
7日	0	0	4	38	0	0	0	42	1	-	-	-	
8日	0	0	2	58	0	0	0	60	2	×	×	×	
9日	0	0	6	75	0	0	0	81	2	100	1	-	
10日	0	0	1	68	0	0	0	69	1	-	-	-	
11日	0	0	0	103	0	0	0	103	3	×	×	-	
12日	0	0	0	63	0	0	0	63	2	200	1	-	
13日	0	0	2	68	0	0	0	70	3	×	×	-	
14日	0	0	2	60	0	0	0	62	2	100	1	-	
15日	0	0	3	49	0	0	0	52	0	300	1	-	
16日	0	0	5	56	0	0	0	61	5	200	1	-	
17日	0	0	2	57	0	0	0	59	1	×	×	-	
18日	0	0	0	59	0	0	0	59	4	400	2	-	
19日	0	0	0	40	0	0	0	40	1	50	1	-	
20日	0	0	2	44	0	0	0	46	0	-	-	-	
21日	0	0	1	48	0	0	0	49	0	-	-	-	火山ガス(二酸化硫黄)の放出量 100トン/日
22日	0	0	0	61	0	0	0	61	0	60	1	-	
23日	0	0	1	38	0	0	0	39	1	200	1	-	
24日	0	1	1	51	0	0	0	53	1	-	-	-	
25日	0	0	1	45	0	0	0	46	0	-	-	-	
26日	0	0	2	31	0	0	0	33	0	200	1	-	
27日	0	0	4	29	0	0	0	33	0	20	1	-	
28日	0	0	1	52	0	0	0	53	1	-	-	-	
29日	0	0	1	42	0	0	0	43	1	100	1	-	
30日	0	0	1	63	0	0	0	64	0	200	1	-	
31日	0	1	2	37	0	0	0	40	0	-	-	-	
合計	0	2	61	1618	0	0	0	1681	41				

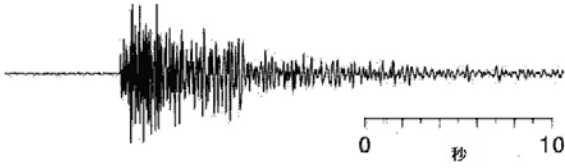
6) 火山性地震の計数基準は石尊観測点で最大振幅 0.1 $\mu$ m 以上、S-P 時間 3 秒以内です。  
火山性地震の種類は図 8 のとおりです。

7) 噴煙の高さと噴煙量は定時観測（09 時・15 時）の日最大値です。噴煙量は以下の 7 階級で観測しています。  
1：極めて少量 2：少量 3：中量 4：やや多量 5：多量 6：極めて多量  
7：噴煙量 6 以上の大噴火。噴煙が山体を覆うぐらい多く、噴煙の高さは成層圏まで達したとみられる  
-：噴煙なし ×：不明

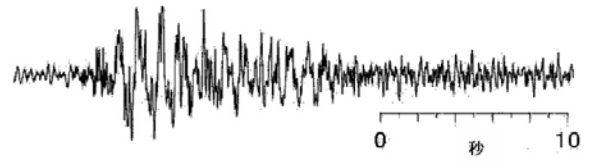
8) 火映の強度は以下の 4 段階で観測しています。  
0：肉眼では確認できず、高感度カメラのみ確認できる程度 1：肉眼でようやく認められる程度  
2：肉眼で明らかに認められる程度 3：肉眼で非常に明るい色で異常に感じる程度  
-：火映なし ×：視程不良（夜間観測できなかった場合）



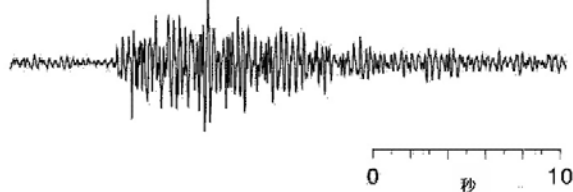
A型地震：P,S相が明瞭で卓越周波数は10Hz前後と高周波の地震



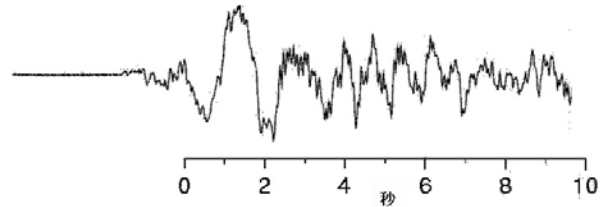
BL型地震：P,S相が不明瞭で卓越周波数が約3 Hz以下の地震



BH型地震：S相が不明瞭で卓越周波数が約3 Hz以上の地震



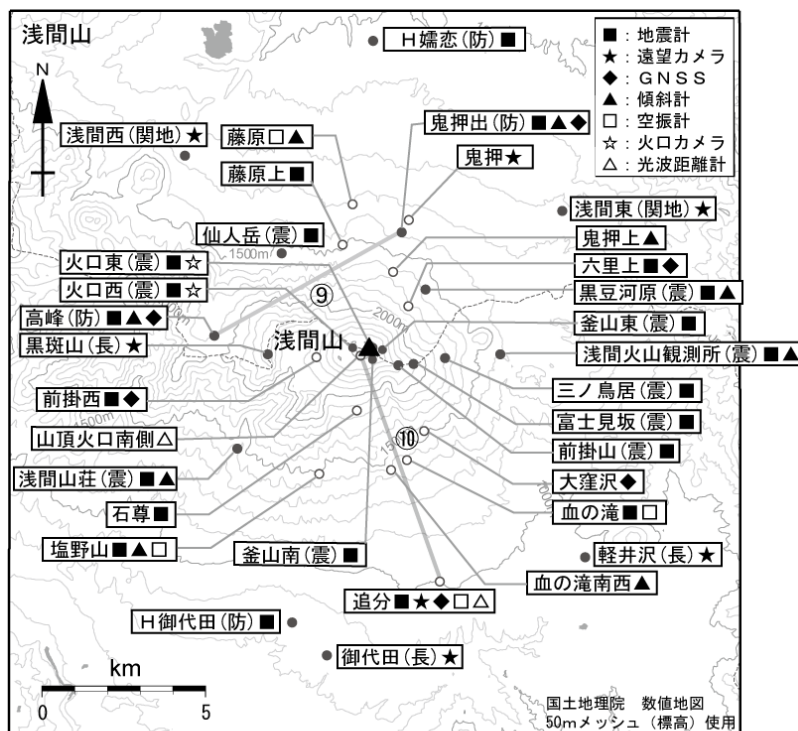
EX型地震(爆発型)：爆発的噴火に伴って発生する地震



BT型地震：一定周波数の振動がゆっくりと減衰していく地震



図 8 浅間山で見られる火山性地震の特徴と波形例



小さな白丸 (○) は気象庁、小さな黒丸 (●) は気象庁以外の機関の観測点位置を示す。  
 (防)：国立研究開発法人防災科学技術研究所、(震)：東京大学地震研究所、  
 (関地)：関東地方整備局、(長)：長野県

図 9 浅間山 観測点配置図

GNSS 基線⑨は図 2 及び図 3 の⑨、図 5 の③に対応しています。  
 光波測距測線⑩は図 2 及び図 3 の⑩、図 5 の④に対応しています。